

UNIVERSIDADE DO MINHO

MESTRADO INTEGRADO EM ENGENHARIA INFORMÁTICA

Investigação Operacional - Trabalho Prático #1

Ano Letivo 2021/2022

Gonçalo Braz (a93178)

Simão Cunha (a93262)

Tiago Silva (a93277)

Gonçalo Pereira (a93168)

24 de março de 2022

1 Formulação do problema

O problema que nos foi colocado para este primeiro trabalho prático da UC de Investigação Operacional consiste num veículo não tripulado (*drone*) inspecionar linhas de transporte de energia elétrica em alta tensão para verificar se há vegetação a interferir com as linhas. Foi imposto que o *drone* possa percorrer as arestas nos dois sentidos e pode percorrer mais do que uma vez, não sendo necessariamente que viaje pelas linhas - pode viajar pelo ar. Além disso, tem-se como objetivo minimizar esta distância. Iremos utilizar o *software* LPSolve para a resolução deste problema.

Tendo que conta que o maior número de aluno existente no nosso grupo (**93277**), devemos remover a aresta C, surgindo, assim, o seguinte mapa:

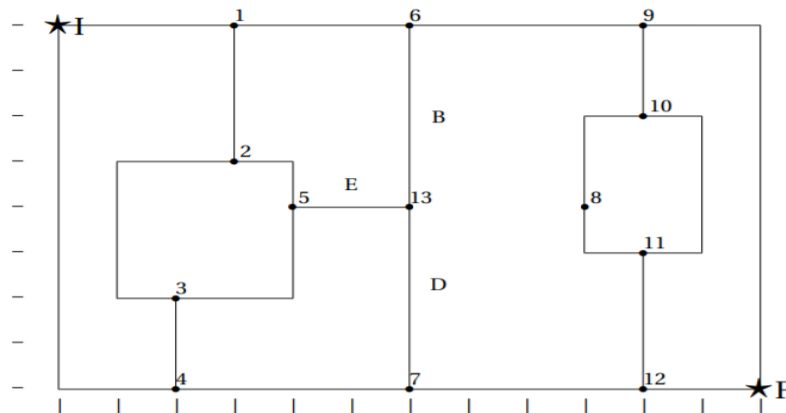


Figura 1: Mapa resultante da remoção da aresta C

Além de ter de percorrer todas as linhas, o *drone* tem definido um ponto de início e fim de operação. Estamos, portanto, perante um problema de resolução de um *caminho Euleriano*. No entanto, para podermos resolver este problema, para além de o grafo ter de ser ligado, necessitamos de saber se estamos a trabalhar com um grafo que possua, no máximo, dois vértices de grau ímpar, tal como dito na definição 5 do capítulo 5 de *Modelos de Investigação Operacional* (livro de apontamentos da UC).

Analisando o grafo que nos foi proposto, facilmente verificamos que este não pode apresentar um caminho Euleriano, visto que apresenta mais do que dois vértices de grau ímpar: ex. vértice 1, 6, 9, etc.

Deste modo teremos de modificar o nosso grafo de modo a que todos os seus vértices tenham grau par ou tenham no máximo dois vértices de grau ímpar.

Uma solução simples será considerar o grafo como orientado e, para que o *drone* possa atravessar em qualquer dos sentidos, dobramos o número de arestas - um exemplo disto será considerar que, em vez de termos apenas a aresta i_1 , temos o seu par 1_i . Tendo isto em conta, todos os vértices terão o seu grau de arestas dobrado, isto é, todos passarão a ter grau par, podendo então concluir que será possível a existência de um caminho Euleriano dentro deste.

Adicionalmente, no contexto do nosso problema, visto que o sujeito que irá atravessar as linhas de alta tensão é um *drone*, este poderá movimentar-se no ar entre os vértices, não sendo limitado por estas linhas, ou seja, podemos adicionar arestas entre quaisquer vértices.

Assim sendo, tendo em conta que o grafo possui 15 vértices, podemos conectar qualquer vértice aos 14 restantes, usando claro a mesma lógica anterior sobre a orientação de forma a manter o grau dos vértices pares. Consequentemente, permitimos ao *drone* seguir caminhos mais diretos entre os vértices no caso de ter de retroceder, como é exemplo a ligação entre i e 4: pela linha elétrica terá custo 10, porém seguindo diretamente terá apenas custo de 8.25.

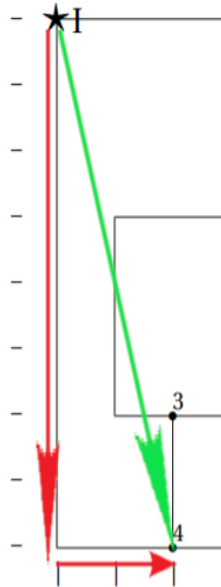


Figura 2: Distância euclidiana de I para 4

O valor das distâncias das arestas seguindo a linha é facilmente descoberto seguindo a escala de traços nas extremidades do mapa, e estará apresentado na função objetivo no capítulo do modelo adiante.

Quanto às distâncias euclidianas entre os vértices, das quais as arestas aéreas que consideramos irão dispor, foi-nos fornecida por parte dos docentes a seguinte matriz:

		x	0	3	3	2	2	4	6	6	9	10	10	10	10	6	12
		y	8	8	5	2	0	4	8	0	4	8	6	3	0	4	0
x	y		I	1	2	3	4	5	6	7	8	9	10	11	12	13	F
0	8	I	0,00	3,00	4,24	6,32	8,25	5,66	6,00	10,00	9,85	10,00	10,20	11,18	12,81	7,21	14,42
3	8	1		0,00	3,00	6,08	8,06	4,12	3,00	8,54	7,21	7,00	7,28	8,60	10,63	5,00	12,04
3	5	2			0,00	3,16	5,10	1,41	4,24	5,83	6,08	7,62	7,07	7,28	8,60	3,16	10,30
2	2	3				0,00	2,00	2,83	7,21	4,47	7,28	10,00	8,94	8,06	8,25	4,47	10,20
2	0	4					0,00	4,47	8,94	4,00	8,06	11,31	10,00	8,54	8,00	5,66	10,00
4	4	5						0,00	4,47	4,47	5,00	7,21	6,32	6,08	7,21	2,00	8,94
6	8	6							0,00	8,00	5,00	4,00	4,47	6,40	8,94	4,00	10,00
6	0	7								0,00	5,00	8,94	7,21	5,00	4,00	4,00	6,00
9	4	8									0,00	4,12	2,24	1,41	4,12	3,00	5,00
10	8	9										0,00	2,00	5,00	8,00	5,66	8,25
10	6	10											0,00	3,00	6,00	4,47	6,32
10	3	11												0,00	3,00	4,12	3,61
10	0	12													0,00	5,66	2,00
6	4	13														0,00	7,21
12	0	F															0,00

Figura 3: Distâncias euclidianas entre todos os vértices

Com todas estas considerações em mente, estamos prontos para procurar a solução do caminho euleriano das linhas de tensão percorridas pelo *drone*.

2 Modelo

A construção do modelo de programação linear consiste na formulação de expressões para a função objetivo e para as restrições do problema, tendo em conta as variáveis de decisão em causa. Iremos dividir a construção do nosso modelo em 3 secções:

1. **Variáveis de decisão:** irão ser as incógnitas, traduzindo o facto se o drone passa por uma determinada linha de alta tensão (ou por via aérea) e quantas vezes passa por essa aresta;
2. **Função objetivo:** responsável por definir o problema consoante as variáveis de função. Determina a melhor solução (de entre as soluções válidas).
3. **Restrições:** representam as condições associadas ao nosso problema. Uma solução que respeite estas restrições é considerada válida;

2.1 Variáveis de decisão

O primeiro passo é saber como iremos representar as diversas arestas. Decidimos que iremos representar as arestas no formato:

$$x_{i-j} \quad (1)$$

onde i representa o vértice de origem e j o vértice de destino.

Tendo em conta que temos de ter em atenção a arestas aéreas, iremos representar as ligações onde existe uma linha de alta tensão entre dois vértices (mas existe a possibilidade de efetuar uma ligação que representa a distância euclidiana) através do formato:

$$x_{i-j-A} \quad (2)$$

Por exemplo, para representar uma ligação entre o vértice i e 12 , representaremos por x_{i-12} , enquanto que uma ligação entre o vértice 12 e j será representada por x_{12-j}

2.2 Função objetivo

A função objetivo dependerá do número de vezes que o *drone* percorre cada linha, minimizando esta função de modo a obter o menor custo possível. Com esta ideia, sabemos que estamos perante um problema de programação linear de minimização.

Assim, a nossa função objetivo seguirá o formato:

$$z = \sum c_{i-j} x_{i-j} \quad (3)$$

onde c_{i-j} representa o custo de ir do vértice. Entenda-se *custo* como a distância entre dois vértices. De acordo com o nosso problema, temos de incluir:

- todas as arestas "reais" (i.e. que existem efetivamente no grafo). O custo irá ser representado pela distância euclidiana entre os dois vértices constituintes. **Exemplo:** 3.00 x_{i-1}
- as arestas *aéreas* (i.e. que não existem desenhadas no grafo). O custo irá ser representado pela distância euclidiana entre os dois vértices constituintes. **Exemplo:** 4.24 x_{i-2}
- as arestas aéreas que representam as ligações em linha reta entre vértices ligados por um fio de alta tensão. O custo irá ser representado pelo menor comprimento das linhas que formam a ligação entre os dois vértices constituintes. **Exemplo:** 8.25 x_{i-4-A}

2.3 Restrições

As restrições do modelo representam as condições para que uma solução seja considerada válida. Assim, dividimos as restrições em 4 conjuntos:

- As linhas de alta tensão têm de ser percorridas pelo *drone* pelo menos uma vez, não importando o sentido: $x_{i-j} + x_{j-i} \geq 1$
- As linhas poderão ser percorridas (incluindo as aéreas). Para esta restrição, temos de incluir todas as arestas possíveis. Corresponderá ao formato $x_{i-j} \geq 0$.
- O número de arestas que entram num vértice tem de ser o mesmo número de arestas que saem do mesmo: $\sum x_{i-j} = \sum x_{j-i}$. Esta regra não se aplica para os vértices I e F visto que estes são os nodos final e inicial. No caso do nodo I, por ser o inicial, terão de sair mais arestas dele do que os que entram, mais especificamente, menos uma aresta entra do que os que sai e o contrário para o F.

2.4 Ficheiro de input inserido no LPSolve

De forma a ser possível observar o conteúdo do ficheiro de input inserido no LPSolve e tendo em conta que não é possível fazer *zoom-out*, tivemos que abrir o mesmo com recurso ao editor de texto Sublime Text.

```
/* Função objetivo */
min: 3.00 x1_1 + 4.24 x1_2 + 6.32 x1_3 + 10 x1_4 + 5.66 x1_5 + 6.00 x1_6 + 10.00 x1_7 + 9.85 x1_8 + 10.00 x1_9 + 10.20 x1_10 + 11.18 x1_11 + 12.81 x1_12 + 7.21 x1_13 + 14.42 x1_f +
      3.00 x1_2 + 6.08 x1_3 + 8.06 x1_4 + 4.12 x1_5 + 3.00 x1_6 + 8.54 x1_7 + 7.21 x1_8 + 7.00 x1_9 + 7.28 x1_10 + 8.60 x1_11 + 10.63 x1_12 + 5.00 x1_13 + 12.04 x1_f +
      6 x2_3 + 5.10 x2_4 + 2 x2_5 + 4.24 x2_6 + 5.83 x2_7 + 6.08 x2_8 + 7.62 x2_9 + 7.07 x2_10 + 7.28 x2_11 + 8.60 x2_12 + 3.16 x2_13 + 10.30 x2_f +
      2.00 x3_4 + 4 x3_5 + 7.21 x3_6 + 4.47 x3_7 + 7.28 x3_8 + 10.00 x3_9 + 8.94 x3_10 + 8.06 x3_11 + 8.25 x3_12 + 4.47 x3_13 + 10.20 x3_f +
      4.47 x4_5 + 8.94 x4_6 + 4.00 x4_7 + 8.06 x4_8 + 11.31 x4_9 + 10.00 x4_10 + 8.54 x4_11 + 8.00 x4_12 + 5.66 x4_13 + 10.00 x4_f +
      4.47 x5_6 + 4.47 x5_7 + 5.00 x5_8 + 7.21 x5_9 + 6.32 x5_10 + 6.08 x5_11 + 7.21 x5_12 + 2.00 x5_13 + 8.94 x5_f +
      8.00 x6_7 + 5.00 x6_8 + 4.00 x6_9 + 4.47 x6_10 + 6.40 x6_11 + 8.94 x6_12 + 4.00 x6_13 + 10.00 x6_f +
      5.00 x7_8 + 8.94 x7_9 + 7.21 x7_10 + 5.00 x7_11 + 4.00 x7_12 + 4.00 x7_13 + 6.00 x7_f +
      4.12 x8_9 + 3 x8_10 + 2 x8_11 + 4.12 x8_12 + 3.00 x8_13 + 5.00 x8_f +
      2.00 x9_10 + 5.00 x9_11 + 8.00 x9_12 + 5.66 x9_13 + 10 x9_f +
      5.00 x10_11 + 6.00 x10_12 + 4.47 x10_13 + 6.32 x10_f +
      3.00 x11_12 + 4.12 x11_13 + 3.61 x11_f +
      5.66 x12_13 + 2.00 x12_f +
      7.21 x13_f +
      3.00 x1_i + 4.24 x2_i + 6.32 x3_i + 10 x4_i + 5.66 x5_i + 6.00 x6_i + 10.00 x7_i + 9.85 x8_i + 10.00 x9_i + 10.20 x10_i + 11.18 x11_i + 12.81 x12_i + 7.21 x13_i + 14.42 x1_f +
      3.00 x2_1 + 6.08 x3_1 + 8.06 x4_1 + 4.12 x5_1 + 3.00 x6_1 + 8.54 x7_1 + 7.21 x8_1 + 7.00 x9_1 + 7.28 x10_1 + 8.60 x11_1 + 10.63 x12_1 + 5.00 x13_1 + 12.04 x1_f +
      6 x3_2 + 5.10 x4_2 + 2 x5_2 + 4.24 x6_2 + 5.83 x7_2 + 6.08 x8_2 + 7.62 x9_2 + 7.07 x10_2 + 7.28 x11_2 + 8.60 x12_2 + 3.16 x13_2 + 10.30 x2_f +
      2.00 x4_3 + 4 x5_3 + 7.21 x6_3 + 4.47 x7_3 + 7.28 x8_3 + 10.00 x9_3 + 8.94 x10_3 + 8.06 x11_3 + 8.25 x12_3 + 4.47 x13_3 + 10.20 x3_f +
      4.47 x5_4 + 8.94 x6_4 + 4.00 x7_4 + 8.06 x8_4 + 11.31 x9_4 + 10.00 x10_4 + 8.54 x11_4 + 8.00 x12_4 + 5.66 x13_4 + 10.00 x4_f +
      4.47 x6_5 + 4.47 x7_5 + 5.00 x8_5 + 7.21 x9_5 + 6.32 x10_5 + 6.08 x11_5 + 7.21 x12_5 + 2.00 x13_5 + 8.94 x5_f +
      8.00 x7_6 + 5.00 x8_6 + 4.00 x9_6 + 4.47 x10_6 + 6.40 x11_6 + 8.94 x12_6 + 4.00 x13_6 + 10.00 x6_f +
      5.00 x8_7 + 8.94 x9_7 + 7.21 x10_7 + 5.00 x11_7 + 4.00 x12_7 + 4.00 x13_7 + 6.00 x7_f +
      4.12 x9_8 + 3 x10_8 + 2 x11_8 + 4.12 x12_8 + 3.00 x13_8 + 5.00 x8_f +
      2.00 x10_9 + 5.00 x11_9 + 8.00 x12_9 + 5.66 x13_9 + 10 x9_f +
      5 x11_10 + 6.00 x12_10 + 4.47 x13_10 + 6.32 x10_f +
      3.00 x12_11 + 4.12 x13_11 + 3.61 x11_f +
      5.66 x13_12 + 2.00 x12_f +
      7.21 x13_f +
      8.25 x1_4_A + 3.16 x2_3_A + 1.41 x2_5_A + 3.16 x3_2_A + 2.83 x3_5_A + 8.25 x4_i_A + 1.41 x5_2_A + 2.83 x5_3_A + 2.24 x8_10_A + 1.41 x8_11_A + 8.25 x9_f_A + 2.24 x10_8_A + 3.00 x10_11_A +
      1.41 x11_8_A + 3.00 x11_10_A + 8.25 x1_f_A;
```

Figura 4: Função objetivo

```
/* Restrições */

// As arestas que existem no grafo têm de ser percorridas pelo menos uma vez (não importa o sentido)

x1_1 + x1_i >= 1; x1_4 + x4_i >= 1;
x1_2 + x2_1 >= 1; x1_6 + x6_1 >= 1;
x2_3 + x3_2 >= 1; x2_5 + x5_2 >= 1;
x3_4 + x4_3 >= 1; x3_5 + x5_3 >= 1;
x4_7 + x7_4 >= 1;
x5_13 + x13_5 >= 1;
x6_13 + x13_6 >= 1; x6_9 + x9_6 >= 1;
x7_13 + x13_7 >= 1; x7_12 + x12_7 >= 1;
x8_10 + x10_8 >= 1; x8_11 + x11_8 >= 1;
x10_11 + x11_10 >= 1;
x9_10 + x10_9 >= 1; x9_f + xf_9 >= 1;
x11_12 + x12_11 >= 1; x12_f + xf_12 >= 1;
```

Figura 5: Restrição 1

```
// As arestas poderão ser percorridas (incluindo as aéreas)

restricoesArestas1: x1_1 >= 0; x1_2 >= 0; x1_3 >= 0; x1_4 >= 0; x1_5 >= 0; x1_6 >= 0; x1_7 >= 0; x1_8 >= 0; x1_9 >= 0; x1_10 >= 0; x1_11 >= 0; x1_12 >= 0; x1_13 >= 0; x1_f >= 0;
x1_4_A >= 0;
restricoesArestas1: x1_1 >= 0; x1_2 >= 0; x1_3 >= 0; x1_4 >= 0; x1_5 >= 0; x1_6 >= 0; x1_7 >= 0; x1_8 >= 0; x1_9 >= 0; x1_10 >= 0; x1_11 >= 0; x1_12 >= 0; x1_13 >= 0; x1_f >= 0;
restricoesArestas2: x2_1 >= 0; x2_2 >= 0; x2_3 >= 0; x2_4 >= 0; x2_5 >= 0; x2_6 >= 0; x2_7 >= 0; x2_8 >= 0; x2_9 >= 0; x2_10 >= 0; x2_11 >= 0; x2_12 >= 0; x2_13 >= 0; x2_f >= 0;
x2_3_A >= 0; x2_5_A >= 0;
restricoesArestas3: x3_1 >= 0; x3_2 >= 0; x3_3 >= 0; x3_4 >= 0; x3_5 >= 0; x3_6 >= 0; x3_7 >= 0; x3_8 >= 0; x3_9 >= 0; x3_10 >= 0; x3_11 >= 0; x3_12 >= 0; x3_13 >= 0; x3_f >= 0;
x3_2_A >= 0; x3_5_A >= 0;
restricoesArestas4: x4_1 >= 0; x4_2 >= 0; x4_3 >= 0; x4_4 >= 0; x4_5 >= 0; x4_6 >= 0; x4_7 >= 0; x4_8 >= 0; x4_9 >= 0; x4_10 >= 0; x4_11 >= 0; x4_12 >= 0; x4_13 >= 0; x4_f >= 0;
x4_1_A >= 0;
restricoesArestas5: x5_1 >= 0; x5_2 >= 0; x5_3 >= 0; x5_4 >= 0; x5_5 >= 0; x5_6 >= 0; x5_7 >= 0; x5_8 >= 0; x5_9 >= 0; x5_10 >= 0; x5_11 >= 0; x5_12 >= 0; x5_13 >= 0; x5_f >= 0;
x5_2_A >= 0; x5_3_A >= 0;
restricoesArestas6: x6_1 >= 0; x6_2 >= 0; x6_3 >= 0; x6_4 >= 0; x6_5 >= 0; x6_6 >= 0; x6_7 >= 0; x6_8 >= 0; x6_9 >= 0; x6_10 >= 0; x6_11 >= 0; x6_12 >= 0; x6_13 >= 0; x6_f >= 0;
x7_1 >= 0; x7_2 >= 0; x7_3 >= 0; x7_4 >= 0; x7_5 >= 0; x7_6 >= 0; x7_7 >= 0; x7_8 >= 0; x7_9 >= 0; x7_10 >= 0; x7_11 >= 0; x7_12 >= 0; x7_13 >= 0; x7_f >= 0;
restricoesArestas8: x8_1 >= 0; x8_2 >= 0; x8_3 >= 0; x8_4 >= 0; x8_5 >= 0; x8_6 >= 0; x8_7 >= 0; x8_8 >= 0; x8_9 >= 0; x8_10 >= 0; x8_11 >= 0; x8_12 >= 0; x8_13 >= 0; x8_f >= 0;
x8_10_A >= 0; x8_11_A >= 0;
restricoesArestas9: x9_1 >= 0; x9_2 >= 0; x9_3 >= 0; x9_4 >= 0; x9_5 >= 0; x9_6 >= 0; x9_7 >= 0; x9_8 >= 0; x9_9 >= 0; x9_10 >= 0; x9_11 >= 0; x9_12 >= 0; x9_13 >= 0; x9_f >= 0;
x9_f_A >= 0;
restricoesArestas10: x10_1 >= 0; x10_2 >= 0; x10_3 >= 0; x10_4 >= 0; x10_5 >= 0; x10_6 >= 0; x10_7 >= 0; x10_8 >= 0; x10_9 >= 0; x10_10 >= 0; x10_11 >= 0; x10_12 >= 0; x10_13 >= 0; x10_f >= 0;
x10_8_A >= 0; x10_11_A >= 0;
restricoesArestas11: x11_1 >= 0; x11_2 >= 0; x11_3 >= 0; x11_4 >= 0; x11_5 >= 0; x11_6 >= 0; x11_7 >= 0; x11_8 >= 0; x11_9 >= 0; x11_10 >= 0; x11_11 >= 0; x11_12 >= 0; x11_13 >= 0; x11_f >= 0;
x11_8_A >= 0; x11_10_A >= 0;
restricoesArestas12: x12_1 >= 0; x12_2 >= 0; x12_3 >= 0; x12_4 >= 0; x12_5 >= 0; x12_6 >= 0; x12_7 >= 0; x12_8 >= 0; x12_9 >= 0; x12_10 >= 0; x12_11 >= 0; x12_12 >= 0; x12_13 >= 0; x12_f >= 0;
restricoesArestas13: x13_1 >= 0; x13_2 >= 0; x13_3 >= 0; x13_4 >= 0; x13_5 >= 0; x13_6 >= 0; x13_7 >= 0; x13_8 >= 0; x13_9 >= 0; x13_10 >= 0; x13_11 >= 0; x13_12 >= 0; x13_13 >= 0; x13_f >= 0;
restricoesArestasf: xf_1 >= 0; xf_2 >= 0; xf_3 >= 0; xf_4 >= 0; xf_5 >= 0; xf_6 >= 0; xf_7 >= 0; xf_8 >= 0; xf_9 >= 0; xf_10 >= 0; xf_11 >= 0; xf_12 >= 0; xf_13 >= 0; xf_f >= 0;
xf_9_A >= 0;
```

Figura 6: Restrição 2

```
// O nº de arestas que entram num vértice tem de ser o mesmo nº de arestas que saem

FluxoVertice1: x1_1 + x1_2 + x1_3 + x1_4 + x1_5 + x1_6 + x1_7 + x1_8 + x1_9 + x1_10 + x1_11 + x1_12 + x1_13 + x1_f + x1_4_A -1 =
x1_i + x2_i + x3_i + x4_i + x5_i + x6_i + x7_i + x8_i + x9_i + x10_i + x11_i + x12_i + x13_i + xf_i + x4_i_A;
FluxoVertice1: x1_1 + x1_2 + x1_3 + x1_4 + x1_5 + x1_6 + x1_7 + x1_8 + x1_9 + x1_10 + x1_11 + x1_12 + x1_13 + x1_f =
x1_i + x2_i + x3_i + x4_i + x5_i + x6_i + x7_i + x8_i + x9_i + x10_i + x11_i + x12_i + x13_i + xf_i;
FluxoVertice2: x2_1 + x2_2 + x2_3 + x2_4 + x2_5 + x2_6 + x2_7 + x2_8 + x2_9 + x2_10 + x2_11 + x2_12 + x2_13 + x2_f + x2_3_A + x2_5_A =
x1_2 + x1_2 + x3_2 + x4_2 + x5_2 + x6_2 + x7_2 + x8_2 + x9_2 + x10_2 + x11_2 + x12_2 + x13_2 + xf_2 + x3_2_A + x5_2_A;
FluxoVertice3: x3_1 + x3_2 + x3_i + x3_4 + x3_5 + x3_6 + x3_7 + x3_8 + x3_9 + x3_10 + x3_11 + x3_12 + x3_13 + x3_f + x3_2_A + x3_5_A =
x1_3 + x2_3 + x3_3 + x4_3 + x5_3 + x6_3 + x7_3 + x8_3 + x9_3 + x10_3 + x11_3 + x12_3 + x13_3 + xf_3 + x2_3_A + x5_3_A;
FluxoVertice4: x4_1 + x4_2 + x4_3 + x4_i + x4_5 + x4_6 + x4_7 + x4_8 + x4_9 + x4_10 + x4_11 + x4_12 + x4_13 + x4_f + x4_i_A =
x1_4 + x2_4 + x3_4 + x4_4 + x5_4 + x6_4 + x7_4 + x8_4 + x9_4 + x10_4 + x11_4 + x12_4 + x13_4 + xf_4 + x1_4_A;
FluxoVertice5: x5_1 + x5_2 + x5_3 + x5_4 + x5_i + x5_6 + x5_7 + x5_8 + x5_9 + x5_10 + x5_11 + x5_12 + x5_13 + x5_f + x5_2_A + x5_3_A =
x1_5 + x2_5 + x3_5 + x4_5 + x5_5 + x6_5 + x7_5 + x8_5 + x9_5 + x10_5 + x11_5 + x12_5 + x13_5 + xf_5 + x2_5_A + x3_5_A;
FluxoVertice6: x6_1 + x6_2 + x6_3 + x6_4 + x6_5 + x6_i + x6_7 + x6_8 + x6_9 + x6_10 + x6_11 + x6_12 + x6_13 + x6_f =
x1_6 + x2_6 + x3_6 + x4_6 + x5_6 + x6_6 + x7_6 + x8_6 + x9_6 + x10_6 + x11_6 + x12_6 + x13_6 + xf_6;
FluxoVertice7: x7_1 + x7_2 + x7_3 + x7_4 + x7_5 + x7_6 + x7_i + x7_8 + x7_9 + x7_10 + x7_11 + x7_12 + x7_13 + x7_f =
x1_7 + x2_7 + x3_7 + x4_7 + x5_7 + x6_7 + x7_7 + x8_7 + x9_7 + x10_7 + x11_7 + x12_7 + x13_7 + xf_7;
FluxoVertice8: x8_1 + x8_2 + x8_3 + x8_4 + x8_5 + x8_6 + x8_7 + x8_i + x8_9 + x8_10 + x8_11 + x8_12 + x8_13 + x8_f + x8_10_A + x8_11_A =
x1_8 + x2_8 + x3_8 + x4_8 + x5_8 + x6_8 + x7_8 + x8_8 + x9_8 + x10_8 + x11_8 + x12_8 + x13_8 + xf_8 + x10_8_A + x11_8_A;
FluxoVertice9: x9_1 + x9_2 + x9_3 + x9_4 + x9_5 + x9_6 + x9_7 + x9_8 + x9_i + x9_10 + x9_11 + x9_12 + x9_13 + x9_f + x9_f_A =
x1_9 + x2_9 + x3_9 + x4_9 + x5_9 + x6_9 + x7_9 + x8_9 + x9_9 + x10_9 + x11_9 + x12_9 + x13_9 + xf_9 + xf_9_A;
FluxoVertice10: x10_1 + x10_2 + x10_3 + x10_4 + x10_5 + x10_6 + x10_7 + x10_8 + x10_9 + x10_i + x10_11 + x10_12 + x10_13 + x10_f + x10_8_A + x10_11_A =
x1_10 + x2_10 + x3_10 + x4_10 + x5_10 + x6_10 + x7_10 + x8_10 + x9_10 + x10_10 + x11_10 + x12_10 + x13_10 + xf_10 + x8_10_A + x11_10_A;
FluxoVertice11: x11_1 + x11_2 + x11_3 + x11_4 + x11_5 + x11_6 + x11_7 + x11_8 + x11_9 + x11_10 + x11_i + x11_12 + x11_13 + x11_f + x11_8_A + x11_10_A =
x1_11 + x2_11 + x3_11 + x4_11 + x5_11 + x6_11 + x7_11 + x8_11 + x9_11 + x10_11 + x11_11 + x12_11 + x13_11 + xf_11 + x8_11_A + x10_11_A;
FluxoVertice12: x12_1 + x12_2 + x12_3 + x12_4 + x12_5 + x12_6 + x12_7 + x12_8 + x12_9 + x12_10 + x12_11 + x12_i + x12_13 + x12_f =
x1_12 + x2_12 + x3_12 + x4_12 + x5_12 + x6_12 + x7_12 + x8_12 + x9_12 + x10_12 + x11_12 + x12_12 + x13_12 + xf_12;
FluxoVertice13: x13_1 + x13_2 + x13_3 + x13_4 + x13_5 + x13_6 + x13_7 + x13_8 + x13_9 + x13_10 + x13_11 + x13_12 + x13_i + x13_f =
x1_13 + x2_13 + x3_13 + x4_13 + x5_13 + x6_13 + x7_13 + x8_13 + x9_13 + x10_13 + x11_13 + x12_13 + x13_13 + xf_13;
FluxoVerticef: xf_1 + xf_2 + xf_3 + xf_4 + xf_5 + xf_6 + xf_7 + xf_8 + xf_9 + xf_10 + xf_11 + xf_12 + xf_13 + xf_i + xf_9_A =
x1_f + x2_f + x3_f + x4_f + x5_f + x6_f + x7_f + x8_f + x9_f + x10_f + x11_f + x12_f + x13_f + x1_f + x9_f_A -1;
```

Figura 7: Restrição 3

```
// Tipo das variáveis
int xi_1, xi_2, xi_3, xi_4, xi_5, xi_6, xi_7, xi_8, xi_9, xi_10, xi_11, xi_12, xi_13, xi_f,
    x1_i, x1_2, x1_3, x1_4, x1_5, x1_6, x1_7, x1_8, x1_9, x1_10, x1_11, x1_12, x1_13, x1_f,
    x2_i, x2_1, x2_2, x2_3, x2_4, x2_5, x2_6, x2_7, x2_8, x2_9, x2_10, x2_11, x2_12, x2_13, x2_f,
    x3_i, x3_1, x3_2, x3_3, x3_4, x3_5, x3_6, x3_7, x3_8, x3_9, x3_10, x3_11, x3_12, x3_13, x3_f,
    x4_i, x4_1, x4_2, x4_3, x4_4, x4_5, x4_6, x4_7, x4_8, x4_9, x4_10, x4_11, x4_12, x4_13, x4_f,
    x5_i, x5_1, x5_2, x5_3, x5_4, x5_5, x5_6, x5_7, x5_8, x5_9, x5_10, x5_11, x5_12, x5_13, x5_f,
    x6_i, x6_1, x6_2, x6_3, x6_4, x6_5, x6_6, x6_7, x6_8, x6_9, x6_10, x6_11, x6_12, x6_13, x6_f,
    x7_i, x7_1, x7_2, x7_3, x7_4, x7_5, x7_6, x7_7, x7_8, x7_9, x7_10, x7_11, x7_12, x7_13, x7_f,
    x8_i, x8_1, x8_2, x8_3, x8_4, x8_5, x8_6, x8_7, x8_8, x8_9, x8_10, x8_11, x8_12, x8_13, x8_f,
    x9_i, x9_1, x9_2, x9_3, x9_4, x9_5, x9_6, x9_7, x9_8, x9_9, x9_10, x9_11, x9_12, x9_13, x9_f,
    x10_i, x10_1, x10_2, x10_3, x10_4, x10_5, x10_6, x10_7, x10_8, x10_9, x10_10, x10_11, x10_12, x10_13, x10_f,
    x11_i, x11_1, x11_2, x11_3, x11_4, x11_5, x11_6, x11_7, x11_8, x11_9, x11_10, x11_11, x11_12, x11_13, x11_f,
    x12_i, x12_1, x12_2, x12_3, x12_4, x12_5, x12_6, x12_7, x12_8, x12_9, x12_10, x12_11, x12_12, x12_13, x12_f,
    x13_i, x13_1, x13_2, x13_3, x13_4, x13_5, x13_6, x13_7, x13_8, x13_9, x13_10, x13_11, x13_12, x13_13, x13_f,
    xf_i, xf_1, xf_2, xf_3, xf_4, xf_5, xf_6, xf_7, xf_8, xf_9, xf_10, xf_11, xf_12, xf_13,
    xi_4_A, x2_3_A, x2_5_A, x3_2_A, x3_5_A, x4_1_A, x5_2_A, x5_3_A, x8_10_A, x8_11_A, x9_f_A, x10_8_A,
    x10_11_A, x11_8_A, x11_10_A, xf_9_A;
```

Figura 8: Definição das variáveis de decisão

3 Interpretação da solução ótima

Com todo o nosso modelo construído, falta apenas correr o programa em busca de uma solução. Assim, o resultado que obtemos através do LPSolve foi o seguinte:

Objective	Constraints	Sensitivity				
Variables	MILP ...	MILP ...	MILP ...	MILP ...	MILP ...	re... ▼
	108,03	105,23	104,62	102,02	101,41	101,41
x13_6	1	1	1	2	2	2
xi_1	1	1	1	1	1	1
xi_4	1	1	1	1	1	1
x1_2	1	1	1	1	1	1
x2_3	1	1	1	1	1	1
x2_5	1	1	1	1	1	1
x3_4	1	1	1	1	1	1
x3_5	1	1	1	1	1	1
x4_7	1	1	1	1	1	1
x5_13	1	1	1	1	1	1
x6_9	1	1	1	1	1	1
x7_12	1	1	1	1	1	1
x7_13	1	1	1	1	1	1
x8_10	1	1	1	1	1	1
x9_10	1	1	1	1	1	1
x9_f	1	1	1	1	1	1
x10_11	1	1	1	1	1	1
x12_f	1	1	1	1	1	1
x1_i	0	0	0	1	1	1
x6_1	1	1	1	1	1	1
x4_3	1	1	1	1	1	1
x11_7	0	0	1	0	1	1
x11_8	0	1	1	1	1	1
x10_9	1	1	1	1	1	1
x12_11	0	0	1	0	1	1
xf_12	0	0	1	0	1	1
x5_2_A	1	1	1	1	1	1
xi_2	0	0	0	0	0	0
xi_3	0	0	0	0	0	0

Figura 9: Output devolvido no LPSolve


```

LPS Selecionar C:\Program Files (x86)\LPSolve IDE\LpSolveIDE.exe
SUBMITTED
Model size:      51 constraints,      226 variables,      509 non-zeros.
Sets:            0 GUB,              0 SOS.

Using DUAL simplex for phase 1 and PRIMAL simplex for phase 2.
The primal and dual simplex pricing strategy set to 'Devex'.

Relaxed solution      82 after      45 iter is B&B base.

Feasible solution      108.03 after    74 iter,      17 nodes (gap 31.4%)
Improved solution      105.23 after    86 iter,      24 nodes (gap 28.0%)
Improved solution      104.62 after    94 iter,      28 nodes (gap 27.3%)
Improved solution      102.02 after   482 iter,     244 nodes (gap 24.1%)
Improved solution      101.41 after   487 iter,     247 nodes (gap 23.4%)

Optimal solution      101.41 after  18183 iter,   10896 nodes (gap 23.4%).

Relative numeric accuracy ||*|| = 1.66533e-016

MEMO: lp_solve version 5.5.2.11 for 32 bit OS, with 64 bit REAL variables.
In the total iteration count 18183, 0 (0.0%) were bound flips.
There were 5450 refactorizations, 0 triggered by time and 2 by density.
... on average 3.3 major pivots per refactorization.
The largest [LUSOL v2.2.1.0] fact(B) had 164 NZ entries, 1.0x largest basis.
The maximum B&B level was 20, 0.0x MIP order, 18 at the optimal solution.
The constraint matrix inf-norm is 1, with a dynamic range of 1.
Time to load data was 0.006 seconds, presolve used 0.005 seconds,
... 0.738 seconds in simplex solver, in total 0.749 seconds.

```

Figura 10: Output devolvido no terminal do LPSolve

Analisando, verificamos que a solução ótima encontrada foi um percurso com custo de 101.41 unidades de comprimento e que esta foi descoberta em 487 iterações e confirmada após 18183. A melhor solução, embora impossível, seria a passagem por todas as arestas obrigatórias sem repetir nenhuma e sem utilizar nenhum caminho aéreo, teria de custo 82.

Recriando o grafo com as arestas utilizadas na solução ótima temos:

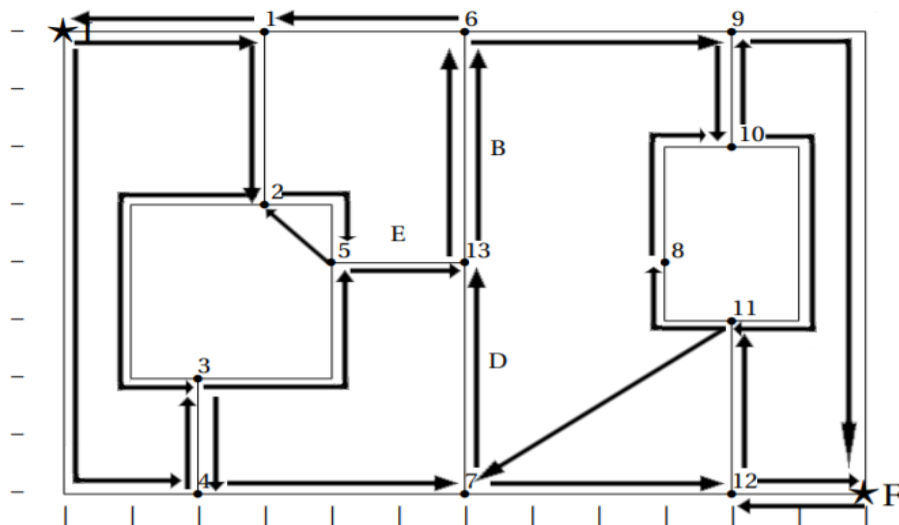


Figura 11: Grafo com todas as arestas da solução

